

# بررسی باربری جانبی تک شمع قائم مجاور شبیب تسليح شده با تریشه‌های موکت به شبیه‌ی توزيع تصادفی

سید محمدعلی زعهدان<sup>\*</sup> (استادیار)  
بخش مهندسی آب، دانشگاه شیراز

مجتبی دهقان ابنوی (کارشناس ارشد)

دانشکده‌ی مهندسی عمران، دانشگاه آزاد اسلامی واحد استهبان

در این نوشتار تأثیر تسليح یک شبیب ماسه‌ی با تریشه‌های موکت به شبیه‌ی توزیع تصادفی<sup>۱</sup> بر باربری جانبی تک شمع قائم مجاور شبیب مطالعه شده است. برنامه‌ی مطالعات آزمایشگاهی شامل بررسی تأثیر پارامترهای گوناگونی از قبیل درصد وزنی، تسبیت ابعاد مختلف تریشه‌های موکت، طول مدقون، اصطکاک جداری و شکل مقطع شمع، میزان تراکم، زاویه و فاصله‌ی شمع از لبهٔ تاج شبیب بر باربری جانبی تک شمع مجاور شبیب ماسه‌ی است. درصد وزنی و تسبیت ابعاد بهینه‌ی تریشه‌ها به ترتیب ۱۵٪ و ۳٪ بدست آمده است که با این مقادیر بیشترین بهبود در باربری جانبی شمعها حاصل شده است. براساس آزمایش‌های انجام شده بر روی مدل‌های کوچک مقیاس (مدل‌های فیزیکی) مشخص شد که استفاده از روش تسليح، اثرات مفید و مناسبی بر بهبود ظرفیت باربری جانبی شمع‌های مجاور شبیب داشته است.

mzomorod@shirazu.ac.ir  
modehghan\_17233@yahoo.com

واژگان کلیدی: شمع، بارجانبی، ماسه، شبیب مسلح، تریشه‌های موکت.

## ۱. مقدمه

بلکه ممکن است ظرفیت بارگیری جانبی خود شمعها نیز تا حد زیادی کاهش یابد. مطالعات عددی و آزمایشگاهی محدودی بر روی اثرات شبیداری‌بودن سطح زمین بر ظرفیت بارگیری جانبی شمع قائم مجاور شبیب‌ها گزارش شده است.<sup>[۱-۵]</sup> به جز تحقیق از ال سواف که در آن رفتار بارگیری جانبی تک‌شمع و گروه شمع قائم مجاور شبیب ماسه‌ی تسليح شده با زتوگرید موردمطالعه قرار داده شده است، پژوهش‌های سایر محققان بر روی شبیه‌های تسليح شده معطوف بوده است. برای افزایش مقاومت و پایداری زمین‌های شبیدار و به تعیین آن بهبود رفتار سازه‌ها و بی‌های متکی بر آن‌ها، می‌توان از روش‌های مختلفی از قبیل میخ‌کوبی<sup>۲</sup>، تسليح با المان‌های ممتد (برای مثال ڈوگرید)، نصب شمع‌ها با سطح صاف و افقی انجام شده است.<sup>[۶-۹]</sup> گاهی اوقات ممکن است سازه‌های متکی بر شمع‌های قائم در مجاورت شبیه‌ها و بردگی‌های طبیعی یا مصنوعی قرار گیرند. مثلاً به دلک‌های انتقال برق، پایه‌های پل‌ها، و ساختمان‌های بلندمرتبه می‌توان اشاره کرد. رفتار جانبی بی‌های شمعی و سازه‌های متکی بر آن‌ها در چنین موقعیتی با رفتار آن‌ها زمانی که بر روی زمین صاف و افقی قرار گرفته‌اند، متفاوت است. زیرا شمعها نه فقط ممکن است باعث القای گسیختگی در شبیب (به خصوص در لایه‌های سطحی) شوند،

غالباً شمعها علاوه‌بر بار قائم، تحت اثر نیروهای جانبی نیز قرار دارند. مثلاً به بار جانبی ناشی از برخورد کشته با سازه‌های پهلوگیری اسکله‌ها، بار جانبی ناشی از فشار جانبی خاک بر دیوار حائل، بار ناشی از حرکت و ترمز اتومبیل بر روی پل‌ها، و بار ناشی از باد وارد به توربین‌های بادی غولپیکر می‌توان اشاره کرد. نیروهای افقی گاهی اوقات بسیار بیشتر از وزن خود سازه‌های ناقش عمده‌ی در طراحی دارند، بنابراین سیستم‌های پی در چنین مواقعی باید برای مقابله با هر دو نیروی محوری و جانبی طراحی شوند.

در گذشته، مطالعات عددی و آزمایشگاهی بسیاری بر روی تک شمع و گروه شمع‌های تحت بار جانبی و مستقر بر زمین‌های با سطح صاف و افقی انجام شده است.<sup>[۱-۹]</sup> گاهی اوقات ممکن است سازه‌های متکی بر شمع‌های قائم در مجاورت شبیه‌ها و بردگی‌های طبیعی یا مصنوعی قرار گیرند. مثلاً به دلک‌های انتقال برق، پایه‌های پل‌ها، و ساختمان‌های بلندمرتبه می‌توان اشاره کرد. رفتار جانبی بی‌های شمعی و سازه‌های متکی بر آن‌ها در چنین موقعیتی با رفتار آن‌ها زمانی که بر روی زمین صاف و افقی قرار گرفته‌اند، متفاوت است. زیرا شمعها نه فقط ممکن است باعث القای گسیختگی در شبیب (به خصوص در لایه‌های سطحی) شوند،

\* نویسنده مسئول  
تاریخ: دریافت ۱۷/۱۲/۱۳۸۸، اصلاحیه ۱۱، پذیرش ۱۲/۹/۱۳۸۹.

آلوودگی‌های زیست‌محیطی و به مخاطره‌افتدان سلامتی انسان‌ها می‌شوند. یکی از روش‌ها برای کمک به حل این مشکلات می‌توان استفاده‌ی مجدد از آن‌ها در کاربردهای مهندسی عمران از قبیل ساخت سازه‌های حائل، خاکریزها، پایداری زیرساز راه‌ها، و بستری‌ها باشد، تا با یک نلاش دو هدف مهم یعنی به نوعی استفاده‌ی مجدد و در ابعاد وسیع از این قبیل ضایعات و علاوه‌بر آن اصلاح خواص مهندسی و رفتار مکانیکی خاک را تأمین کرد. بنابراین هدف اصلی در این پژوهش بررسی میزان تأثیر استفاده از نوعی زوائد پلیمری-آلیافی (تریشه‌های موکت) به عنوان المان تسليح بر رفتار جانبی تک شمع قائم مجاور شب ماسه‌ی است. برای نیل به این هدف مجموعه‌ی آزمون‌های آزمایشگاهی بر روی مدل کوچک مقیاس شمع مجاور شب ماسه‌ی تسليح شده با تریشه‌های موکت به شیوه‌ی توزیع تصادفی انجام شده است.

## ۲. مواد و روش‌ها

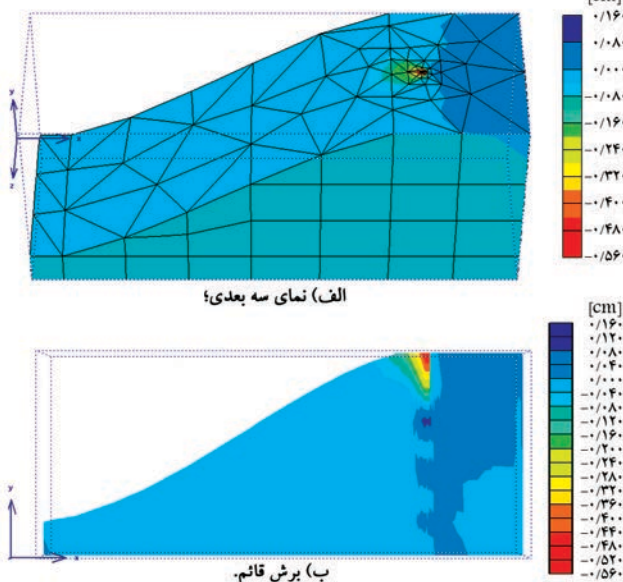
### ۱.۲. جعبه‌ی آزمایش

براساس مطالعات انجام شده پیرامون مبحث باربری جانبی شمع، مشخص شده است که حضور مرزهای صلب قرارگرفته در فواصل بیشتر از  $15^\circ$  برابر قطر شمع (فاصله از مرکز شمع)، تأثیری بر پاسخ سیستم ندارد. زیرا ناحیه تحت تنش مؤثر توده‌ی خاک در حدود  $1^\circ$  برابر قطر شمع، در جهت اعمال بار جانبی به شمع گزارش شده است.<sup>[۱۶]</sup> بنابراین با توجه به مطالعات ذکر شده، تخمین‌های اولیه برای انتخاب ابعاد جعبه‌ی آزمایش درنظر گرفته شد، اما برای اطمینان بیشتر از تاسب ابعاد تخمینی برای جعبه‌ی آزمایش، یک سری مطالعه‌های تجزیه و تحلیل ابعادی با نرم‌افزار V.۱۱ Plaxis ۳D Foundation و درنظر گرفتن اهداف اصلی تحقیق انجام شد. با توجه به مدل‌سازی عددی انجام شده با نرم‌افزار مذکور، مشخص شد که جابجایی‌های ایجاد شده در اثر بارگذاری جانبی شمع، اغلب در محدوده اطراف بدنه‌ی شمع رخ داده است، به طوری که بیشترین مقادیر جابجایی در نزدیکی سطح خاک است. مضاف بر این، براساس نتایج مدل‌سازی‌های عددی مشخص شد که این تغییرات به مرزهای مدل نرسیده و به نظر می‌رسد که این موضوع در جهت تأیید کافی و تناسب ابعاد جعبه به نظر اجتناب از اثرات مرزهای مدل بر باربری جانبی شمع است. نمونه‌ی از منحنی‌های همتراز جابجایی‌های افقی حاصل از تحلیل‌های انجام شده با نرم‌افزار Plaxis ۳D Foundation در شکل ۱ نشان داده شده است. نحوه‌ی گسیختگی و الگوهای جابجایی مشاهده شده در حین انجام آزمایش‌ها نیز کافی و تناسب ابعاد انتخاب شده برای جعبه‌ی آزمایش را تأیید می‌کنند (شکل ۲). با توجه به این شکل مشاهده می‌شود که ناحیه‌ی گسیختگی به مرزهای جانبی جعبه‌ی آزمایش نرسیده است. بنابراین با توجه به مطالعات ذکر، جعبه‌ی آزمایش با ابعاد داخلی  $7\text{,}8 \times 1\text{,}8 \text{ m}$  در ارتفاع انتخاب واز جنس فولاد ساخته شده است.

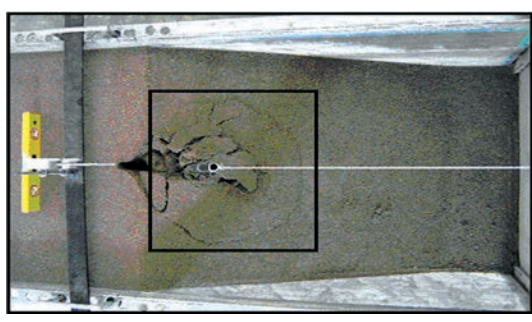
### ۲.۰. خاک و المان تسليح

برای انجام آزمایش‌ها از نوعی ماسه‌ی رودخانه‌یی یکنواخت استفاده شده است. ماسه براساس طبقه‌بندی متحدد که مورد تأیید استاندارد ASTM N۴ است، دانه‌بندی یکنواخت داشته است و در رده‌ی ماسه‌ی بد دانه‌بندی شده (SP) قرار می‌گیرد. منحنی دانه‌بندی ماسه مطابق شکل ۳ است. سایر مشخصات ماسه‌ی مورد آزمایش در جدول ۱ ارائه شده است.

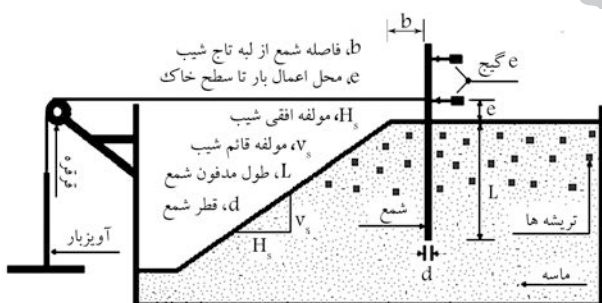
المان تسليح مورد استفاده از نویز پلی پروپیلن است که از برش دادن نوارهای زوائد کارخانه‌ی موکت شیراز به صورت تریشه‌هایی با ابعاد مختلف تهیه شده است. این تریشه‌های دارای چگالی ( $G_s = 1$ ) هستند و مقاومت کششی بیشینه و مدول کشسانی



شکل ۱. منحنی‌های همتراز جابجایی‌های افقی.



شکل ۲. محدوده‌ی گسیختگی شمع تحت بار جانبی مجاور شب.



شکل ۳. نمایی شماتیک از جعبه‌ی آزمایش.

جدول ۱. مشخصات ماسه‌ی موردآزمایش.

$\gamma_d(\max)$ (kN/m <sup>3</sup> )	$\gamma_d(\min)$ (kN/m <sup>3</sup> )	$G_s$	$D_{10}$ (mm)	$D_{30}$ (mm)	$D_{50}$ (mm)	$D_{60}$ (mm)	$C_u$	$C_c$
۱۶,۹۹	۱۴,۱۳	۲,۶۹	۰,۲	۰,۳۲	۰,۴۵	۰,۵۴	۲,۷	۰,۹۵

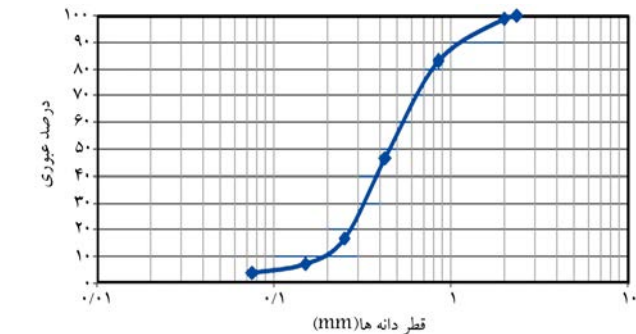
آزمایش ریخته شد و به اندازه‌ی مشخص با کویه‌های خاصی که برای متراکم‌کردن خاک در نظر گرفته شده بودند، کوبیده شد. عمل ریختن و کوبیدن لایه‌های پیاپی ماسه تا رسیدن به ترازی که باید شمع نصب شود (این تراز به طول مدفون شمع بستگی دارد)، ادامه یافت. در این مرحله شمع در محل از پیش تعیین شده (این محل در جهت عرضی، درست در وسط عرض جعبه و در جهت طولی با توجه به فاصله‌ی شمع از لبه‌ی تاج شیب متغیر بود) بهوسیله‌ی یک گیره به صورت قائم (برای کنترل قائم بودن شمع از تراز دستی استفاده شد) بر تراز لایه مهار شد. میزان تراکم شیب بهوسیله‌ی جعبه‌های کوچک استوانه‌یی که این جعبه‌ها حین مراحل ساخت درون شیب قرار می‌گرفتند، کنترل شد. این مراحل در حالت تسليح نشده تا رسیدن به سطح لایه آخر ادامه یافت؛ اما در حالت تسليح شده، پس از توزیع میزان تریشه‌های لازم برای تسليح، تریشه‌ها و ماسه برای اختلاط بهتر به چهار قسمت مساوی تقسیم شدند و هر قسمت از تریشه‌ها با یک قسمت از ماسه، یکبار با دست و یکبار با بیل بهم خوردند و درنهایت هر چهار قسمت بهوسیله‌ی بیل با یکدیگر مخلوط شدند. سپس مخلوط ماسه و تریشه‌ها با دقت و به آرامی در جعبه‌ی آزمایش ریخته و متراکم شدند. برای جلوگیری از جداستدگی یا به عبارتی شناورشدن تریشه‌ها به هنگام اختلاط با ماسه، تریشه‌ها به میزان مشخصی مرتبط شدند. پس از پایان کوشش لایه‌ی آخر با خارج کردن ماسه‌های اضافی از جعبه‌ی آزمایش، سطح نمای شیب با استفاده از خطکش چوبی و با توجه به الگوی شیب ترسیم شده بر روی وجه شیشه‌یی مقابله یکدیگر به آرامی و با دقت بسیار زیاد ساخته شد. برای به کمینه رساندن اثرات کف جعبه، شیب‌های مدل بر روی یک پایه‌ی ماسه‌یی به ضخامت ۲۵ سانتی‌متر قرار گرفتند. پس از تکمیل شدن شیب، بارگذاری به صورت تدریجی تا رسیدن به حالت گسیختگی بر شمع‌های مدل اعمال شد و در هر گام بارگذاری، جابجاگی افقی سر شمع با گنجی‌های صفحه‌ی ساعتی اندازه‌گیری شدند.

۵.۲. برنامه‌ی آزمایش‌ها

آزمایش‌های انجام‌شده را می‌توان در سه بخش مجرزاً تقسیم کرد. سری یک: آزمایش‌هایی در حالت شیب تسليح نشده، سری دو: آزمایش‌هایی در حالت شیب تسليح شده با درصد‌های وزنی و نسبت ابعاد مختلف تریشه‌های موكت (این سری از آزمایش‌ها به منظور بررسی تأثیر تسليح شیب با تریشه‌های موكت به شیوه‌ی توزیع تصادفی بر اینکه رفتاری مشابه با یک شمع صلب کوتاه داشته باشد، باید کوچکتر با مساوی  $2T$  و برای اینکه رفتاری مشابه با یک شمع طویل انعطاف‌پذیر داشته باشد، باید بزرگتر یا مساوی  $4T$  باشد. طول مدفون شمع‌های مورداستفاده در این پژوهش،  $30$  سانتی‌متر ( $L/d = 14/1$ ) کوچک‌تر از  $2T$  ( $L/d = 18/1$ ) بین  $2T$  و  $4T$  و درنهایت  $64/5$  سانتی‌متر ( $L/d = 30/3$ ) بزرگ‌تر از  $4T$  در نظر گرفته شده‌اند.

۵.۳. مشخصات شمع‌های مورداستفاده

از لوله‌ی فولادی به قطر خارجی  $21/3$  و قطر داخلی  $16/1$  میلی‌متر (شمع دایره‌یی) و قوطی فولادی به بعد خارجی  $25$  و بعد داخلی  $17$  میلی‌متر (شمع مربعی) استفاده شده است. در خاک‌های غیرچسبنده ضربی سختی ( $T$ ) با استفاده از فرمول محاسبه می‌شود:



شکل ۴. منحنی دانه‌بندی ماسه‌ی استفاده شده در پژوهش.

اولیه‌ی آن‌ها به ترتیب  $800$  و  $730$  کیلوپاسکال است. مقطع تریشه‌ها به صورت مستطیلی (به طول  $20$  و عرض  $5$  میلی‌متر) و  $1600$  و  $6000$  (میلی‌متر) طول آن‌ها،  $40$ ،  $60$  و  $80$  میلی‌متر (به ترتیب معادل با نسبت ابعاد  $1/1$ ،  $2/1$ ،  $3/1$  و  $4/1$ ) و درصد‌های وزنی مورداستفاده  $0.6$ ،  $0.9$ ،  $1.2$ ،  $1.5$ ،  $1.8$  و  $2.7$  درصد وزن ماسه‌ی خشک هستند.

۳.۲. مشخصات شمع‌های مورداستفاده

از لوله‌ی فولادی به قطر خارجی  $21/3$  و قطر داخلی  $16/1$  میلی‌متر (شمع دایره‌یی) و قوطی فولادی به بعد خارجی  $25$  و بعد داخلی  $17$  میلی‌متر (شمع مربعی) استفاده شده است. در خاک‌های غیرچسبنده ضربی سختی ( $T$ ) با استفاده از فرمول (۱) محاسبه می‌شود:

$$(1) \quad T = \sqrt{\frac{EPIP}{n_h}}$$

در این رابطه  $EPIP$  سختی خمی شمع (در این پژوهش  $1361 \text{ N.m}^3$ ) و  $n_h$  مدل ثابت عکس العمل افقی بستر است. مقادیر  $n_h$  برای ماسه‌های سست، نیمه متراکم، و متراکم، به ترتیب  $1900$ ،  $1400$  و  $6000$  (kN/m<sup>3</sup>) هستند. در نظر گرفته شده است.<sup>[۱۷]</sup> براساس پیشنهاد بر امز  $1964$ ، برای یک شمع سر آزاد، طول مدفون شمع برای اینکه رفتاری مشابه با یک شمع صلب کوتاه داشته باشد، باید کوچکتر با مساوی  $2T$  و برای اینکه رفتاری مشابه با یک شمع طویل انعطاف‌پذیر داشته باشد، باید بزرگتر یا مساوی  $4T$  باشد. طول مدفون شمع‌های مورداستفاده در این پژوهش،  $30$  سانتی‌متر ( $L/d = 14/1$ ) کوچک‌تر از  $2T$  ( $L/d = 18/1$ ) بین  $2T$  و  $4T$  و درنهایت  $64/5$  سانتی‌متر ( $L/d = 30/3$ ) بزرگ‌تر از  $4T$  در نظر گرفته شده‌اند.

۴.۲. روش انجام آزمایش

ارتفاع سطح خاک در جعبه‌ی آزمایش به  $12$  قسمت مساوی (هر قسمت  $6$  سانتی‌متر) با علامت‌گذاری بر روی وجه شیشه‌یی مقابله یکدیگر تقسیم شده است و هر قسمت حکم یک لایه‌ی خاک را دارد. ماسه‌ی مرتبط با دقت به درون جعبه

تأثیر مسلح کردن شیب با درصد های وزنی و نسبت ابعاد مختلف تریشه ها بر باربری جانبی شمع، به صورت پارامتر LRIR در جدول ۳ ارائه شده است. با توجه به جدول ۳ مشاهده می شود که کمترین مقدار LRIR<sub>r</sub> (۰/۰۲۳) (تریشه های با نسبت ابعاد ۱ و درصد وزنی ۰/۳) و بیشترین مقدار این پارامتر LRIR<sub>r</sub> (۰/۰۴۱۴) (تریشه های با نسبت ابعاد ۳ و درصد وزنی ۰/۵) بدست آمده است. در شکل ۵، نمونه هی از منحنی های بارجانبی نسبت جابجایی (y/d) که مریط به شیب های تسلیح شده با نسبت ابعاد ۳ و درصد های وزنی ۰/۳ تا ۰/۸ و همچنین شیب تسلیح شده می باشد، نشان داده شده است.

به طور کلی می توان گفت که افزودن تریشه ها به ماسه، موجب افزایش باربری جانبی شمع مجاور شیب شده است. این افزایش باربری جانبی شمع را می توان به مکانیزم عمل و رفتار خاک مسلح که مبتنی بر اثرات متقابل بین خاک و المان تسلیح است، مرتبط دانست. با توجه به اینکه خاک در حالت متراکم است، مکانیزم قفل شوندگی و درگیری دانه های خاک با تریشه ها موجب خواهد شد تا در فصل مشترک خاک و تریشه ها، تنفس برسی سیچ شود. عکس العمل این تنفس ها، سیچ مقاومت کششی در تریشه ها در برابر تنفس کششی اعمال شده خواهد بود. بنابراین به نظر می رسد که اندرکشش توده خاک جلوی شمع و تریشه ها موجب انتقال تنفس از خاک به تریشه ها و به عنوان آن افزایش باربری جانبی شمع شده است. در شکل ۶، منحنی تغییرات LRIR در مقابل درصد وزنی تریشه ها نشان داده شده است. با توجه به این شکل مشاهده می شود که تأثیر تریشه ها در افزایش پارامتر LRIR<sub>r</sub> در درصد های وزنی پایین عمده تر بوده است و به ترتیج با افزایش درصد وزنی، نرخ

۱ قائم: ۲ افقی (این موارد در جدول با آزمایش های شماره هی ۵، ۶، ۱۲ و ۱۳ مشخص شده اند)، ماقبی آزمایش های جدول ۲ بر روی شمع های دایره هی مجاور شیب ۱ (۰/۵ افقی، انجام شده اند).

### ۳. نتایج و بحث

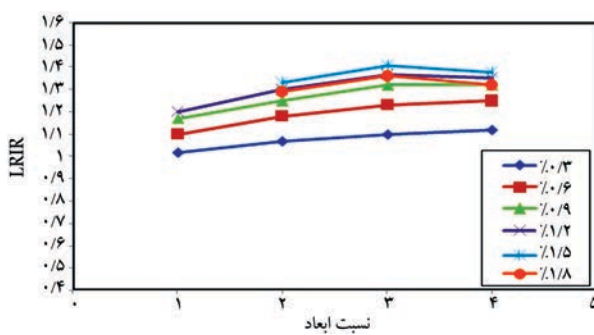
کلیه پارامتر های ثابت و متغیر های دخیل در آزمایش هایی که به منظور بررسی تأثیر پارامتر های مختلف انجام و نتایج آن ها در این بخش ارائه شده است، مطابق با جدول ۲ است.

#### ۱.۳. اثرات درصد وزنی و نسبت ابعاد مختلف تریشه ها

بهبود باربری جانبی شمع ناشی از اثرات تسلیح شیب، به صورت پارامتر بی بعد نسبت باربری جانبی بهبود یافته (LRIR)<sup>۳</sup> معرفی شده است. این پارامتر به صورت نسبت بار جانبی یک شمع مشخص مجاور شیب تسلیح شده، به بار جانبی همان شمع اما مجاور شیب تسلیح شده و در یک جابجایی جانبی مشخص تعريف می شود. جابجایی افقی سر شمع (y)، نیز به صورت یک پارامتر بی بعد d/y (d قطر شمع) و بر حسب درصد معروف شده است. با توجه به مطالعات موجود، [۱۲، ۱۳] ظرفیت باربری جانبی شمع نیز از منحنی های بار جانبی نسبت جابجایی (y/d)، با درنظر گرفتن بار جانبی متناظر با نسبت جابجایی جانبی ۲۰٪ تعیین شده است.

جدول ۲. برنامه هی آزمایش های انجام شده.

پارامتر های متغیر	پارامتر های ثابت	شماره هی آزمایش	سری آزمایش
L/d = ۱۴/۱، ۱۸/۱، ۳۰/۳ چگالی نسبی (درصد) ۷۵ و ۵۳، ۰/۳۰ b/d = ۰، ۲، ۶ و ۱۲ زیری جداره شمع شكل مقطع شمع (مربعی) زاویه شیب (۱ قائم: ۲ افقی یا ۲۶/۶ درجه)	b/d = ۲، (D <sub>r</sub> ) = ۰/۷۵	۱	
	b/d = ۲، L/d = ۱۸/۱	۲	
	L/d = ۱۸/۱، (D <sub>r</sub> ) = ۰/۷۵	۳	سری یک (بدون تسلیح)
	b/d = ۲، L/d = ۱۸/۱، (D <sub>r</sub> ) = ۰/۷۵	۴	
	b/d = ۲، L/d = ۱۸/۱، (D <sub>r</sub> ) = ۰/۷۵	۵	
	b/d = ۲، L/d = ۱۸/۱، (D <sub>r</sub> ) = ۰/۷۵	۶	
درصد وزنی = ۰/۳ و ۱/۸ درصد نسبت ابعاد = ۰/۳ و ۰/۱	b/d = ۲، L/d = ۱۸/۱، (D <sub>r</sub> ) = ۰/۷۵	۷	سری دو (تسلیح شده با درصد های وزنی و نسبت ابعاد مختلف تریشه ها)
	b/d = ۲، (D <sub>r</sub> ) = ۰/۷۵	۸	
L/d = ۱۴/۱، ۱۸/۱، ۳۰/۳ چگالی نسبی (درصد) ۷۵ و ۵۳، ۰/۳۰ b/d = ۰، ۲، ۶ و ۱۲ زیری جداره شمع شكل مقطع شمع (مربعی) زاویه شیب (۱ قائم: ۲ افقی یا ۲۶/۶ درجه)	b/d = ۲، (D <sub>r</sub> ) = ۰/۷۵	۹	سری سه
	b/d = ۲، L/d = ۱۸/۱	۱۰	(تسلیح شده با ۱/۵ درصد وزنی تریشه ها با نسبت ابعاد ۳)
	L/d = ۱۸/۱، (D <sub>r</sub> ) = ۰/۷۵	۱۱	
	b/d = ۲، L/d = ۱۸/۱، (D <sub>r</sub> ) = ۰/۷۵	۱۲	
	b/d = ۲، L/d = ۱۸/۱، (D <sub>r</sub> ) = ۰/۷۵	۱۳	

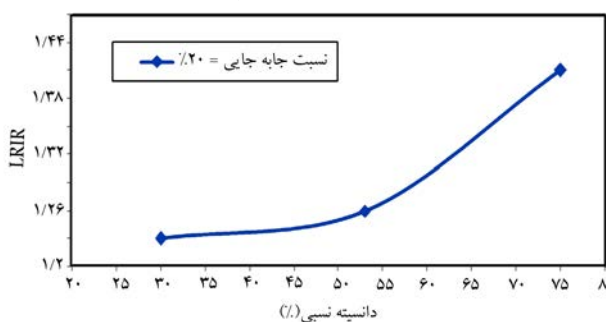


شکل ۷. تغییرات LRIR در مقابل نسبت ابعاد تریشهها.

می‌شوند؛ به طوری که ماحصل این جابجایی ذرات کاهش متراکم است. علاوه بر مطلب ذکرشده، زمانی که درصد وزنی تریشه‌ها از حد مشخصی بیشتر شود، اختلاط آن‌ها با خاک تقریباً غیرعملی است و تضمینی برای توزیع یکنواخت و همگن تریشه‌ها در خاک وجود ندارد. به هر حال افزایش میران LRIR بر حسب درصد وزنی تریشه‌ها، به طور مشخص در ارتباط با بسیج شدن بیشتر نیروهای کششی در ناحیه برشی قابل تفسیر است. در شکل ۷ مشاهده می‌شود که تأثیر نسبت ابعاد تریشه‌ها بر پارامتر LRIR، مشابه تأثیر درصد وزنی بر این پارامتر است.  
به نظر می‌رسد زمانی که نیروی کششی بزرگ و طول تریشه‌ها کوتاه باشد، این نیرو بر نیروی مقاوم در برابر بروز کششی غلبه می‌کند و بنا بر این قفل و سست بین خاک و المان تسليح از هم گستته می‌شود (لغزش). به عبارتی در نسبت ابعاد پایین، طول مناسب برای بسیج تنش‌های کافی در تریشه‌ها وجود ندارد. بدلیل تاخوردگی و غیرمستقیم ماندن تریشه‌ها در نسبت‌های ابعاد بالا، کاهش طول مؤثر تریشه‌ها موجب کاهش مقاومت برشی بسیج شده می‌شود.

### ۲.۳. اثرات چگالی نسبی

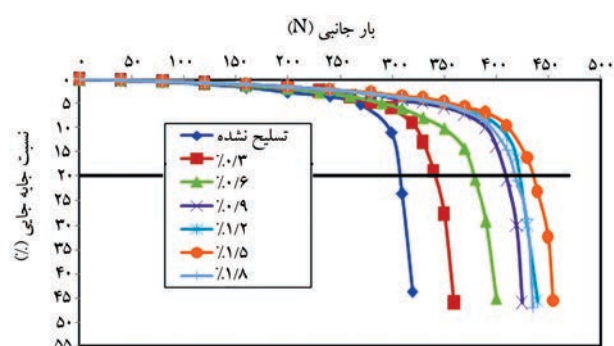
در شکل ۸، تغییرات LRIR در مقابل چگالی نسبی شیب ماسه‌بی نشان داده شده است. از این شکل به روشنی می‌توان دریافت که تأثیر تسليح بر بهبود باربری جانبی شمع واقع در شیب‌های ماسه‌بی نیمه متراکم تا متراکم نسبت به شمع واقع در شیب‌های ماسه‌بی سنت تا نیمه متراکم، خیلی بیشتر است. به نظر می‌رسد بهبود باربری جانبی شمع با افزایش چگالی نسبی، ناشی از اندرکش ماسه تریشه‌ها شمع، باشد. زمانی که شیب متراکم است، قفل و سست و درگیری اجزای محیط مرکب با یکدیگر بیشتر است و این امر باعث ایجاد یک باند قوی‌تر در فصل مشترک دانه‌های ماسه و تریشه‌ها نسبت به حالت نیمه متراکم و سنت می‌شود و به تبع آن مقاومت و باربری محیط مرکب افزایش می‌یابد.



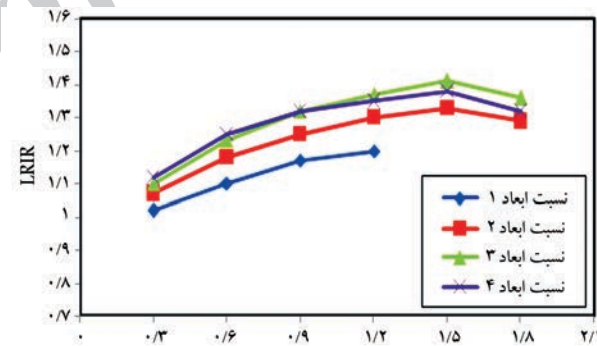
شکل ۸. تغییرات LRIR در مقابل چگالی نسبی شیب ماسه‌بی.

جدول ۳. پارامتر LRIR برای درصدهای وزنی و نسبت ابعاد مختلف تریشه‌ها (بارها بر اساس٪ ۲۰، y/d=٪ ۲۰).

درصد وزنی	نسبت ابعاد		
	۴	۳	۲
۰,۳	۱,۱۲۳	۱,۱۰۳	۱,۰۷۱
۰,۶	۱,۲۵۶	۱,۲۳۰	۱,۱۸۴
۰,۹	۱,۳۲۴	۱,۳۲۴	۱,۲۵۶
۱,۲	۱,۳۵۳	۱,۳۷۲	۱,۳۰۴
۱,۵	۱,۳۸۵	۱,۴۱۴	۱,۳۲۷
۱,۸	۱,۳۲۴	۱,۳۵۹	۱,۲۹۱



شکل ۵. تغییرات بارجانبی نسبت جابجایی شیب تسليح شده با نسبت ابعاد ۳.



شکل ۶. تغییرات LRIR در مقابل درصد وزنی تریشه‌ها.

افزایش LRIR کاهش می‌یابد تا اینکه افزودن تریشه‌ها بیش از ۱/۵٪ وزنی موجب کاهش LRIR شود.

این رفتار از این منظر منطقی و قابل تفسیر است که در درصدهای وزنی بالا به تدریج با جایگزین شدن تریشه‌ها به جای دانه‌های خاک و با توجه به اینکه این تریشه‌ها حجم نسبتاً زیادی را در محیط مرکب مشکل از ماسه و تریشه اشغال می‌کنند، از یک سو میران ماسه‌ی لازم برای اینکه تریشه‌ها را در خود جای دهد و قفل و سست و درگیری مناسبی با آن‌ها ایجاد کند، ناکافی شده است و از سوی دیگر، رفتار این محیط مرکب تحت تأثیر تریشه‌ها قرار می‌گیرد و به عبارتی تریشه‌ها کنترل‌کننده رفتار نمونه‌ها می‌شوند. به نظر می‌رسد شبیه چنین رفتاری را بتوان در تفسیر منحنی تراکم مشاهده کرد که در رطوبت‌های بالاتر از رطوبت بینه و در یک حجم ثابت خاک متراکم شده، قسمتی از ذرات آب در حقیقت جایگزین ذرات خاک

### ۳.۳. اثرات طول مدفون شمع

با توجه به جدول ۴ مشاهده می‌شود که باربری جانبی شمع مجاور شیب کنترل (۲۶,۶ درجه)، در هر دو حالت تسليح نشده و تسليح شده، بیشتر از باربری جانبی شمع مجاور شیب تندر (۷ ۳۳ درجه) به دست آمده است، اما نسبت باربری جانبی بهبودیافته در حالت شیب تندر بیشتر می‌باشد. به‌نظر می‌رسد با افزایش زاویه‌ی شیب، فشار مقاوم توده‌ی ماسه در بخش جلویی شمع کاهش یافته است و این امر موجب کاهش باربری جانبی شمع شده است.

### ۳.۶. اثرات اصطکاک جداری

آزمایش‌های این مرحله بر روی شمع‌های با جداره‌ی صاف و زیر (زیری جداره‌ی خارجی شمع با چسباندن کاغذ سمباده ضدآب شماره‌ی ۶۰ تأمین شده است) انجام گرفته است. با توجه به جدول ۵ ملاحظه می‌شود که با زیرشدن جداره‌ی خارجی شمع، باربری جانبی در هر دو حالت تسليح نشده و تسليح شده، کمی افزایش یافته (این افزایش چندان قابل ملاحظه نیست و به‌نظر می‌رسد این موضوع ناشی از نوع کاغذ سمباده مورداستفاده در این پژوهش باشد که نتوانسته است تأثیر چندانی بر افزایش اصطکاک جداری مدل‌های شمع بگذارد) و نسبت باربری جانبی بهبودیافته اندکی کاهش یافته است.

### ۳.۷. اثرات شکل مقطع شمع

با توجه به جدول ۶ ملاحظه می‌شود که با تغییر مقطع شمع از دائیر به مربع، باربری جانبی شمع در هر دو حالت شیب تسليح نشده و تسليح شده افزایش یافته است، اما نسبت باربری جانبی بهبودیافته در هر دو حالت تقریباً یکسان است.

جدول ۴. تأثیر زاویه‌ی شیب بر LRIR (بارها براساس  $y/d = 20\%$ ).

LRIR	بارجانبی در حالت تسليح شده (N)	بارجانبی در حالت تسليح شده (N)	زاویه‌ی شیب
نسبت باربری			
۱/۴۱۴	۴۳۷	۳۰۹	۱ قائم: ۱/۵ افقی (۳۳/۷ درجه)
۱/۳۵۱	۴۵۴	۳۳۶	۱ قائم: ۲ افقی (۲۶,۶ درجه)

جدول ۵. تأثیر اصطکاک جداری بر LRIR (بارها براساس  $y/d = 20\%$ ).

LRIR	بارجانبی در حالت تسليح شده (N)	بارجانبی در حالت تسليح شده (N)	وضعیت جداره‌ی شمع
نسبت باربری			
۱/۴۱۴	۴۳۷	۳۰۹	جاری صاف
۱/۳۸۷	۴۴۸	۳۲۳	جاری زیر

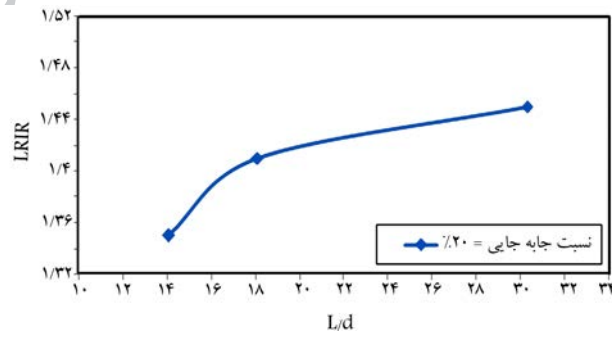
طول مدفون شمع نه فقط نشان‌دهنده‌ی نوع رفتار شمع (صلب یا انعطاف‌پذیر) می‌باشد، بلکه بر باربری جانبی آن نیز تأثیرگذار است. در شکل ۹، تغییرات LRIR در مقابل نسبت  $b/d$  نشان داده شده است.

با توجه به این شکل مشاهده می‌شود که افزایش طول مدفون شمع، موجب بهبود باربری جانبی شمع شده است. سختی خاک در اعمق سطحی شیب ماسه‌ی مترالکم کمتر است (این سختی کمتر ناشی از وجود خود شیب است) و بنابراین جابجایی‌های جانبی در این بخش‌ها بیشتر می‌باشد. درحالی‌که با بیشترشدن عمق، این جابجایی‌ها به دلیل مقاومت بیشتر خاک احاطه‌کننده شمع کاهش می‌یابد.

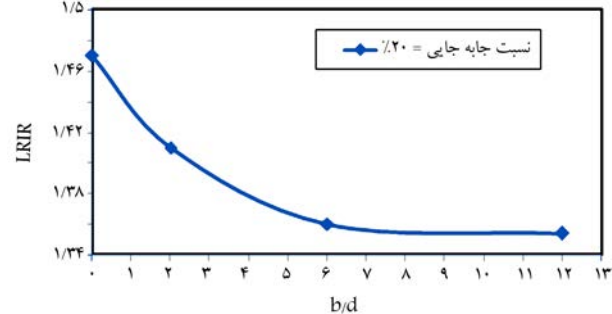
بنابراین به‌نظر می‌رسد بهبود باربری جانبی، با افزایش طول مدفون شمع را بتوان با افزایش مقاومت خاک اطراف شمع و به‌تبع آن کاهش جابجایی خاک که با بیشترشدن عمق اتفاق می‌افتد، مرتبط داشت.

### ۴.۳. اثرات محل قرارگیری شمع نسبت به لبه‌ی تاج شیب

فاصله‌ی شمع از لبه‌ی تاج شیب با نسبت بی‌بعد  $(b/d)$  مشخص شده است. در شکل ۱۰، تغییرات LRIR در مقابل نسبت  $b/d$  نشان داده شده است. با توجه به این شکل مشاهده می‌شود که بیشینه‌ی اثرات مقید تسليح مربوط به زمانی است که شمع درست در لبه‌ی تاج شیب ( $b/d = 0$ ) قرار گرفته باشد. با دورشدن شمع از لبه‌ی تاج شیب، پارامتر LRIR کاهش می‌یابد، هرچند باربری جانبی شمع مجاور شیب نیز افزایش یافته است. کاهش در نسبت باربری جانبی بهبودیافته تا نسبت  $b/d = 7$  آشکار است و پس از این مقدار، کاهش متوقف می‌شود و تأثیر شیب بر رفتار شمع تاچیز و قابل اغراض است.



شکل ۹. تغییرات LRIR در مقابل نسبت  $d/L$ .



شکل ۱۰. تغییرات LRIR در مقابل نسبت  $b/d$ .

جدول ۶. تأثیر شکل مقطع شمع بر LRIR (بارها براساس  $y/d = 20\%$ ).

شکل مقطع شمع	نسبت باربری بارجانبی در حالات تسليح	نسبت باربری حالات تسليح	نسبت باربری حالات تسليح
(LRIR)	نشده (N)	نشده (N)	جانبی بهبودیافته (N)
دایره‌بی	۱,۴۱۴	۴۳۷	۳۰۹
مربعی	۱,۴۰۳	۴۷۰	۳۳۵

#### ۴. نتیجه‌گیری

نتایج ارائه شده در این نوشتار را می‌توان به این صورت خلاصه کرد:

۱. کمترین مقدار LRIR در حالت تریشه‌های با نسبت ابعاد ۱ و درصد وزنی  $50/3$  و برابر با  $1/023$  و بیشترین مقدار این پارامتر در حالت تریشه‌های با نسبت ابعاد ۳ و درصد وزنی  $1/5$  و برابر با  $1/414$  بدست آمده است. بنابراین درصد وزنی و نسبت ابعاد بهینه‌ی تریشه‌ها به ترتیب  $1/5$  و ۳ است.
۲. تسليح شیب ماسه‌بی با تریشه‌های موکت به شیوه‌ی توزیع تصادفی، اثرات مفید و مناسبی بر افزایش باربری جانبی تک شمع قائم مجاور شیب دارد و به طورکلی این اثرات مفید در پاره‌بی از موارد که به نوعی ضعف بیشتر بوده است، از قبیل تندترودن زاویه‌ی شیب، نزدیکترودن شمع به لبه‌ی تاج شیب، و صافبودن جداره‌ی خارجی شمع، بیشتر نمایان شده است.
۳. افزایش طول مدفون و فاصله‌ی شمع از لبه‌ی تاج شیب، کاهش زاویه و افزایش میزان تراکم شیب، زبرشدن جداره‌ی شمع، و درنهایت تعییرشکل مقطع شمع از دایره به مریع در هر دو حالت شیب تسليح نشده و تسليح شده، موجب افزایش باربری جانبی شمع شده است.
۴. با نزدیکترودن شمع به لبه‌ی تاج شیب اثرات مفید تسليح بیشتر نمایان شد و بیشترین تأثیر زمانی حاصل شد که شمع درست در لبه‌ی تاج شیب قرار گرفته بود.
۵. زمانی که فاصله‌ی شمع از لبه‌ی تاج شیب بیش از ۷ برابر قطر شمع باشد، تأثیر شیب بر رفتار شمع ناچیز و قابل اغماض است.
۶. میزان بهبود باربری جانبی شمع با استفاده از تریشه‌های موکت به عنوان المان تسليح، به میزان زیادی به چگالی نسبی شیب بستگی دارد، به طوری که برای شیب‌های ماسه‌بی سست، بهبود نسبتاً کم است، اما در حالت شیب متراکم بهبود باربری جانبی شمع به میزان قابل توجهی افزایش یافته است.

#### پابنوشتها

1. randomly distributed method
2. soil nailing
3. lateral resistance improvement ratio (LRIR)

#### منابع (References)

1. Brinch Hansen, J. "Ultimate resistance of rigid piles against transversal forces", *Danish Geotechnical Institute, Copenhagen, Denmark*, **12**, pp. 5-9 (1961).
2. Broms, B.B. "Lateral resistance of piles in cohesionless soils", *Journal of the Soil Mechanics and Foundations Division*, **90**(3), pp. 123-156 (1964).
3. Meyerhof, G.; Mathur, S.K. and Valsangkar, A.J. "Lateral resistance and deflection of rigid walls and piles in layered soils", *Canadian Geotechnical Journal*, **18**(2), pp. 159-170 (1981).
4. Sastry, V.V.R.N. and Meyerhof, G.G. "Behavior of flexible piles in layered sands under eccentric and inclined loads", *Canadian Geotechnical Journal*, **31**(4), pp. 513-520 (1994).
5. Poulos, H.G. "Behavior of laterally loaded piles near a cut or slope", *Australian Geomechanics Journal*, **6**, pp. 6-12 (1976).
6. Schmidt, H.G. "Large diameter bored piles for abutments", *9th International Conference on Soil Mechanics and Foundation Engineering*, pp. 107-112 (1977).
7. Terashi, M.; Kitazume, M.; Maruyama, A. and Yamamoto, Y. "Lateral resistance of a long piles in or near the slope", *Proc., Centrifuge*, **91**, pp. 245-252 (1991).
8. Bouafia, A. and Bouguerra, A. "Centrifuge testing of the behavior of a horizontally loaded flexible pile near to a

- slope”, *Canadian Geotechnical Journal*, **34**, pp. 324-335 (1995).
- 9. Mezazigh, S. and Levacher, D. “Laterally loaded piles in sand: slope effect on P-Y reaction curves”, *Canadian Geotechnical Journal*, **35**, pp. 433-441 (1998).
  - 10. Stewart, D.P. “Reduction of undrained lateral pile capacity in clay due to an adjacent slope”, *Australian Geomechanics Journal*, pp. 17-23 (1999).
  - 11. Chae, K.S.; Ugai, K. and Wakai, A. “Lateral resistance of short single piles and pile groups Located near slopes”, *International Journal of Geomechanics*, **4**(2), pp. 93-103 (2004).
  - 12. El-Sawwaf, M. “Lateral resistance of single pile located near geosynthetic reinforced slope”, *Journal of Geotechnical and Geo-environmental Engineering*, **132**(10), pp. 1336-1345 (2006).
  - 13. El-Sawwaf, M. “Lateral behavior of vertical pile group embedded in stabilized earth slope”, *Journal of Geotechnical and Geo-environmental Engineering*, **134**(7), pp. 1015-1020 (2008).
  - 14. Begum, N.A. and Muthukumaran, K. “Numerical modeling for laterally loaded piles on a sloping ground”, *The 12th International Conference of IACMAG*, Goa India, pp. 3368-3375 (2008).
  - 15. Poulos, H.G. and Davis, E.H., *Pile Foundation Analysis and Design*, John Wiley and Sons Inc, New York (1980).
  - 16. Narasimha Rao, S.; Ramakrishna, V.G.S.T.K. and Babu Rao, M. “Influence of rigidity on laterally loaded pile groups in marine clay”, *ASCE Journal of Geotechnical and Geo-environmental Engineering*, **124**(6), pp. 542-549 (1998).
  - 17. Terzaghi, K. “Evaluation of coefficients of subgrade reaction”, *Geotechnique*, **5**, pp. 297-326 (1955).
  - 18. Ovesen, N.K. “The use of physical models in design: The scaling law relationship”, *Proc., 7th European Conf. on Soil Mechanics and Foundation Engineering*, **4**, pp. 318-323 (1979).